

本州四国連絡橋公团 正会員 林 有一郎

まえがき

筆者は従来より吊橋理論の研究に従事してきておりその結果①軸力を受ける棒を材は軸剛性と横剛性をもつて横剛性は強むよひ単振子の復元力剛性と等価なこと②その剛性方程式を用いるとケーブル張力を考慮したケーブル方程式、鉛直方向約合方程式を導くことができ、③ケーブル張力を無視すると前者は通常のケーブル方程式、後者は線形化されたRodeの式になり④又同じ剛性方程式よりケーブルのポテンシャルエネルギー表示を導けられると示した。この報文はさらに⑤ケーブル張力 H_p の変位によるあらわし表示、⑥ケーブル方程式の新しい導き方、⑦ハミルトンの原理による吊橋の正しい曲げ振動方程式を示し、⑧線形化されていない鉛直方程式は実はケーブルの横剛性をえんじてけり線形式であることを示すものである。

2 吊橋の曲げ振動方程式

吊橋の形状、変位を図1のように定義する。添字C, L, RはケーブルV、ハンガー、補剛材に関するものであることを示す。ケーブルの剛性方程式は次のとおりである。

$$dF_i^c = k_{ii}^c dx_i \quad (1)$$

ここに

$$dF_i^c = [H_{pa}, V_{pa}^c, H_{pb}^c, V_{pb}^c]^T_i, dx_i^c = [\xi_a, \dot{\xi}_a, \xi_b, \dot{\xi}_b]^T_i$$

$$k_{ii}^c = \begin{bmatrix} k_{cc} & \text{sym.} \\ -k_{cc} & k_{cc} \end{bmatrix}_i, \quad k_{cc}^c = \begin{bmatrix} k_{11}^c & \text{sym.} \\ k_{22}^c & k_{22}^c \end{bmatrix}, \quad k_{22}^c = \left(\frac{AcE_c}{L_i} - \frac{T_{wi}^c}{L_i} \right) \sin \omega_i \cos \omega_i$$

$$k_{11}^c = \frac{AcE_c}{L} \cos^2 \omega_i + \frac{T_{wi}^c}{L} \sin^2 \omega_i, \quad k_{22}^c = \frac{AcE_c}{L} \sin^2 \omega_i + \frac{T_{wi}^c}{L} \cos^2 \omega_i$$

始めに H_p を変位の関数として表わすこととする。剛性方程式より次式をうる。

$$\begin{aligned} H_{px} &= k_{11i}^c \Delta \xi_i + k_{22i}^c \Delta \dot{\xi}_i \\ &= (AcE_c \cos^2 \omega_i + H_w \sin^2 \omega_i) \frac{\partial \xi_i}{\partial x} + (AcE_c \cos \omega_i - H_w) \sin \omega_i \cos \omega_i \frac{\partial \dot{\xi}_i}{\partial x} \\ &\rightarrow AcE_c \cos \omega_i \left(\frac{\partial \xi_i}{\partial x} + \tan \omega_i \frac{\partial \dot{\xi}_i}{\partial x} \right) + H_w \sin \omega_i \cos \omega_i \left(\tan \omega_i \frac{\partial \dot{\xi}_i}{\partial x} - \frac{\partial \xi_i}{\partial x} \right) \end{aligned} \quad (2)$$

この式からケーブル方程式を導く。 H_p が一定という仮定があらわしにはこの式を $\Delta \xi_i$ について表わすと

$$d\xi = (1 - \frac{H_w}{AcE_c} \frac{\sin \omega_i}{\cos \omega_i}) \left(\frac{H_p}{AcE_c} \sec^2 \omega_i dx - \tan \omega_i d\dot{\xi} + \frac{H_w}{AcE_c} \frac{\sin \omega_i}{\cos \omega_i} d\dot{\xi} \right)$$

$$\approx \frac{H_p}{AcE_c} \sec^2 \omega_i dx - \tan \omega_i \frac{d\dot{\xi}}{dx} dx + \frac{H_w}{AcE_c} \tan \omega_i \sec^2 \omega_i \frac{d\dot{\xi}}{dx} dx \quad (3)$$

となり、この式の両辺をケーブル不動支間で積分すれば、文献(3)、式(12)のケーブル張力を考慮したケーブル方程式が得られる。

次に吊橋の鉛直面内曲げ振動方程式を導く。ケーブル、ハンガー、補剛材にたくわえられるポテンシャルエネルギー U と運動エネルギー T は文献(3)を参照して次のように表わされる。

$$\begin{aligned} U &= \frac{AcE_c}{2} \int_c^{c'} \cos^2 \omega_i \left(\frac{\partial \xi}{\partial x} + \tan \omega_i \frac{\partial \dot{\xi}}{\partial x} \right)^2 dx + \frac{H_w}{2} \int_c^{c'} \cos^2 \omega_i \left(\tan \omega_i \frac{\partial \dot{\xi}}{\partial x} - \frac{\partial \xi}{\partial x} \right)^2 dx \\ &\quad + \frac{1}{2} \int_c^{c'} \left\{ a_n E_n \left(\frac{\partial \xi}{\partial x} \right)^2 + w_s \left(\frac{\partial \xi}{\partial x} \right)^2 \right\} dx + \frac{1}{2} \int_c^{c'} F_B I_B \left(\frac{\partial^2 \xi}{\partial x^2} \right)^2 dx + \frac{1}{2} \int_c^{c'} F_S A_S \left(\frac{\partial \xi}{\partial x} \right)^2 dx \end{aligned} \quad (4)$$

$$T = \frac{1}{2} \int_c^{c'} \frac{w_s}{g} (\dot{\xi}^2 + \dot{\eta}^2) dx + \frac{1}{2} \int_c^{c'} \frac{w_s}{g} (\dot{\xi}^2 + \dot{\zeta}^2) dx$$

ここに

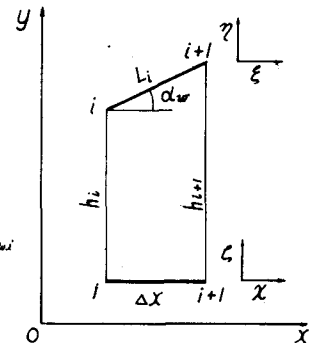


図 1

$$a_x = A_x / \Delta x, \quad w_s = T_w^k / \Delta x$$

ハミルトンの原理：

$$\int_{t_0}^{t_1} (T - U) dt = 0 \quad (6)$$

T , U , T を代入し、変分を行なうと $\delta \xi$, $\delta \eta$, $\delta \chi$, $\delta \zeta$ の任意性から次式をうる。

$$\frac{w_c}{g} \ddot{\xi} - \frac{d}{dx} \left\{ A_c E_c \cos^2 dw \left(\frac{d\xi}{dx} + \tan dw \frac{d\eta}{dx} \right) + H_w \cos dw \sin dw \left(\tan dw \frac{d\xi}{dx} - \frac{d\eta}{dx} \right) \right\} + w_s \frac{\xi - \pi}{h} = 0 \quad (7)$$

$$\frac{w_c}{g} \ddot{\eta} - \frac{d}{dx} \left\{ A_c E_c \cos^2 dw \sin dw \left(\frac{d\xi}{dx} + \tan dw \frac{d\eta}{dx} \right) - H_w \cos^2 dw \left(\tan dw \frac{d\xi}{dx} - \frac{d\eta}{dx} \right) \right\} + a_n E_k \frac{\eta - \zeta}{h} = 0 \quad (8)$$

$$\frac{w_c}{g} \ddot{\chi} - w_s \frac{\xi - \chi}{h} - E_s A_s \frac{d^2 \chi}{dx^2} = 0 \quad (9)$$

$$\frac{w_c}{g} \ddot{\zeta} - a_n E_k \frac{\eta - \zeta}{h} + E_s I_v \frac{d^2 \zeta}{dx^2} = 0 \quad (10)$$

この式は複雑なので式(2)を用いて少し変形すると次式をうる。

$$\begin{cases} \text{式 (2)} \\ \frac{w_c}{g} \ddot{\xi} - \frac{dH_p}{dx} + w_s \frac{\xi - \chi}{h} = 0 \end{cases} \quad (11)$$

$$\frac{w_c}{g} \ddot{\eta} - \frac{d}{dx} \left(H_p \tan dw + H_w \sec^2 dw \frac{d\eta}{dx} \right) + a_n E_k \frac{\eta - \zeta}{h} = 0 \quad (12)$$

式 (9)

式 (10)

従来考査されていいる式は、これらの式に仮定をつけ加えた時のものに位置する。たとえばハンガー伸縮 a 、補剛性、ケーブルの橋軸方向慣性力、補剛性の軸抵抗力を無視、 $\sec^2 dw \approx 1$ すな仮定を設ければ

$$\frac{H_p}{A_c E_c} \int_C^C \sec^2 dw dx + \frac{d^2 \eta}{dx^2} \int_C^C \zeta dx = 0 \quad (13)$$

$$\frac{w_c + w_s}{g} \ddot{\zeta} + E_s I_v \frac{d^2 \zeta}{dx^2} - H_p \frac{d^2 \eta}{dx^2} - H_w \frac{d^2 \eta}{dx^2} = 0 \quad (14)$$

解が得られる。

3 振度理端式の意味

文献(3)の式(11)によるとケーブルは i の α 端のケーブル張力増分の鉛直方向成分は

$$T_{pai} = -H_{pai} \left(\tan dw_i - \frac{H_w}{A_c E_c} \tan dw_i \sec^2 dw_i \right) + H_w \left(\sec^2 dw_i - \frac{H_w}{A_c E_c} \tan^2 dw_i \sec^2 dw_i \right) \frac{d\xi}{dx} \quad (15)$$

と表わされたがこの式の微小項を無視して(線形化されたRodeの式の基となる)行列表示すると

$$[H_{pa}, T_{pa}] [\sin dw, -\cos dw]^T = \frac{T_w}{L} \frac{d\xi}{\cos dw} \quad (16)$$

する式がえられ、 $[\sin dw, -\cos dw]^T$ はケーブル軸と直角な単位ベクトルであるから、線形化されたRodeの式はケーブル節束力はケーブル横剛性によって生ずるということを

表わしていることになる。Rodeはこの仮定を

$$[d\xi, d\eta] [dx, dy]^T = 0$$

する式で行なっている。線形化されていなるRodeの式はケーブルの横剛性に $(T_w + T_p)/L$ を用いたことと等価であり、線形化されていなるMelanの式はケーブルの横剛性に $\frac{(T_w + T_p) \cos dw}{L}$ を使っており $\cos dw$ の分だけケーブル剛性を弱く評価している。図において ac が軸剛性、 ad が横剛性による力を表わし、 ae が式(15)と等価である。Rodeの式は節束力を ad を仮定する。横剛性の中のケーブル張力は T_w 又は $T_w + T_p$ と仮定される。

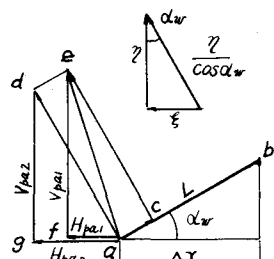


図 2

参考文献

(1) 林，“有限要素法によるケーブル解析”，第25回年次講演会，昭和45年10月

(2) 林，保田，“吊橋の振動解析”，第28回年次講演会，昭和48年10月

(3) 林，“吊橋の振度理端式における基礎方程式の考察”，第29回年次講演会，昭和49年10月